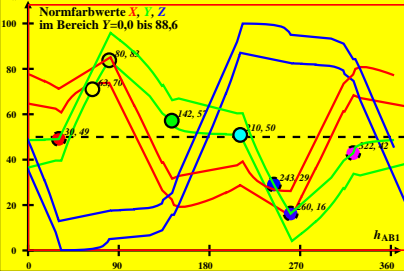


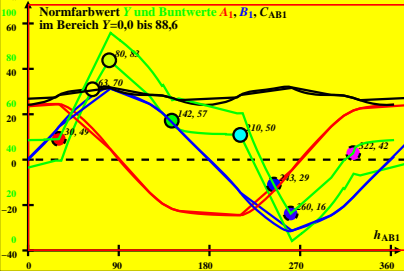
CIE-E00-Daten von -Ostwald-Farben von maximalem Buntwert C_{AB}
 $Y_w=88,6$, $Y_m=520_770$, $B_m=380_520$, 2 Berechnungsmethoden



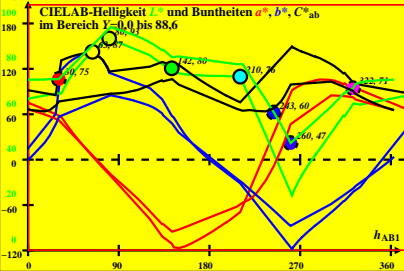
DG231-1 A_1

DG230-7R

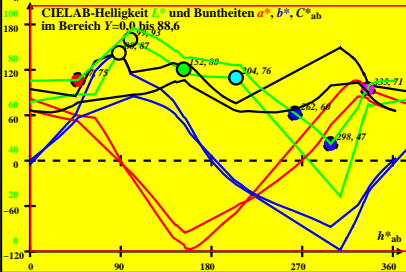
CIE-E00-Daten von -Ostwald-Farben von maximalem Buntwert C_{AB}
 $Y_w=88,6, Y_m=520_770, B_m=380_520, 2$ Berechnungsmethoden



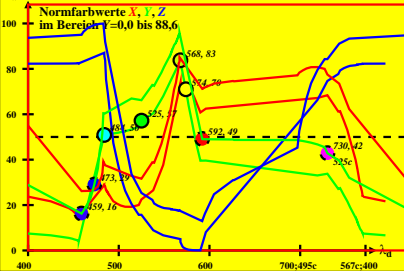
CIE-E00-Daten von -Ostwald-Farben von maximalem Buntwert C_{AB}
 $Y_w=88,6, Y_m=520_770, B_m=380_520, 2$ Berechnungsmethoden



CIE-E00-Daten von -Ostwald-Farben von maximalem Buntwert C_{AB}
 $Y_w=88,6$, $Y_m=520_770$, $B_m=380_520$, 2 Berechnungsmethoden

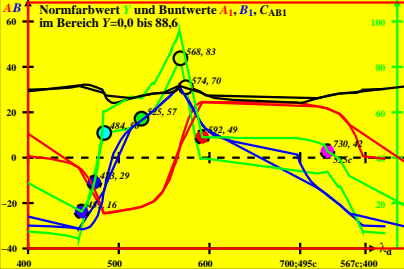


CIE-E00-Daten von -Ostwald-Farben von maximalem Buntwert C_{AB}
 $Y_w=88,6$, $Y_m=520_770$, $B_m=380_520$, 2 Berechnungsmethoden



**CIE-E00-Daten von -Ostwald-Farben von maximalem Buntwert C_{AB}
 $Y_w=88,6$, $Y_m=520_770$, $B_m=380_520$, 2 Berechnungsmethoden**

AB Normfarbwert Y und Buntwerte A_1, B_1, C_{AB1}
 im Bereich $Y=0,0$ bis $88,6$



**CIE-E00-Daten von -Ostwald-Farben von maximalem Buntwert C_{AB}
 $Y_w=88,6$, $Y_m=520_770$, $B_m=380_520$, 2 Berechnungsmethoden**

a^*b^*

180

120

60

0

-60

-120

CIELAB-Helligkeiten L^* und Buntheiten a^* , b^* , C^*_{ab}

im Bereich $Y=0,0$ bis $88,6$

I^*

100

80

60

40

20

459, 47

473, 60

484, 71

525, 80

568, 93

574, 87

592, 75

630, 71

628, 61

400

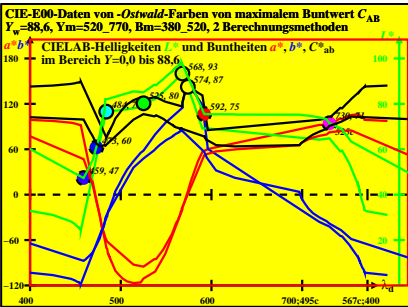
500

600

700;495c

567c;400

λ_{nd}



CIE-E00-Daten von -Ostwald-Farben von maximalem Buntwert C_{AB}
 $Y_w=88,6$, $Y_m=520_770$, $B_m=380_520$, 2 Berechnungsmethoden

ab Normfarbwert Y und Farbarten a_1, b_1, c_{ab1}
 im Bereich $Y=0,0$ bis $88,6$

